Detaillierter Report

für **Max Mustermann** an **November 10, 2016**

Zusammenfassung

	Distanz (m)			Geschwind (mph)			Spin		Ballwinkel (°)						
Schläger	Schlagdist	Gesamt	Seitlich	Schläger	Ball	Smash	(rpm)	Achse (°)	Abflug Vert.	Launch Horz.	Landung	Höhe (m)	Flug (s)	Klassifizierung	Wertung
7 Iron	117	129	2,2 R	68,7	93,3	1,36	3677	1,3 L	17,1	1,5 R	35,9	16	4,5	Gerade	*
8 Iron	108	120	0,8 R	67,7	88,3	1,30	4789	0,9 R	20,5	0,1 R	38,3	17	4,5	Gerade	*
9 Iron	92	101	0,8 L	68,0	80,9	1,19	7454	0,2 L	21,4	0,5 L	37,8	14	4,1	Gerade	*
Pitching Wedge	92	99	1,7 R	68,2	78,3	1,15	5127	1,6 R	29,0	0,6 R	44,5	19	4,5	Gerade	*
Gap Wedge	75	85	1,1 R	67,9	68,5	1,02	3244	6,5 R	32,4	0,1 L	42,6	15	3,8	Fade	*
Sand Wedge	61	66	0,3 L	60,5	60,4	1,01	5996	4,7 R	36,1	1,0 L	45,7	14	3,7	Fade	

Ordnen nach Gesamtdistanz

Gruppierung

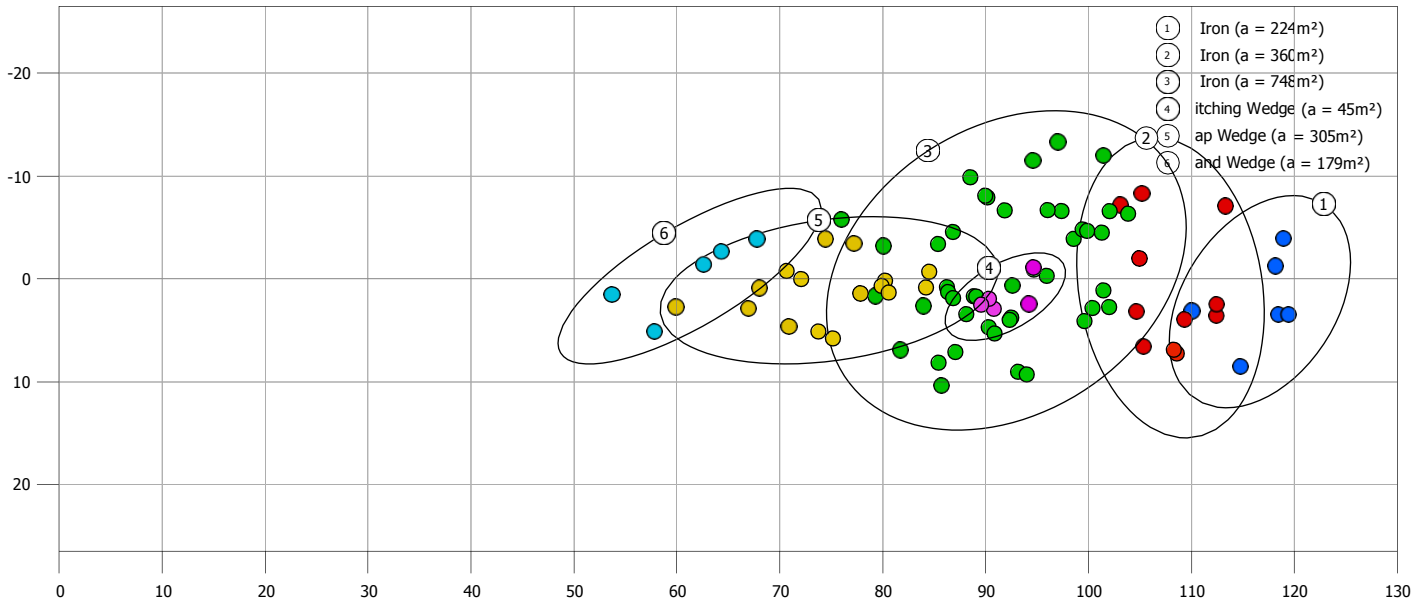

7 Iron

	Distanz (m)			Geschwind (mp			Spin		Ballwinkel (°)						Schlägerwinkel (°)					Schwungebene (	
Schlag	Schlagdist	Gesamt	Seitlich	Schläger	Ball	Smash	(rpm)	Achse (°)	Abflug Vert.	Launch Horz.	Landung	Höhe (m)	Flug (s)	Klassifizierung	Eintreffwinkel	Schwungrichtung	Schlagfläche zu Schwungrichtung	Schlagfläche zu Ziel	Dynaischer Loft	Vertikal	Horizontal
1	119	129	3,9 L	71,4	94,4	1,32	3027	5,0 L	16,9	0,1 L	35,5	16	4,5	Draw	-8,4	6,9 R	10,1 L	3,2 L	27,8	65,8	3,1 R
2	118	128	1,3 L	67,0	93,7	1,40	2928	2,7 L	18,4	0,2 R	36,0	16	4,5	Gerade	-7,5	7,8 R	10,9 L	3,1 L	29,8	65,3	4,3 R
3	115	127	8,5 R	67,4	91,2	1,35	1647	6,0 R	18,8	2,1 R	37,2	17	4,6	Fade	-6,5	3,3 R	1,7 L	1,6 R	29,2	57,0	0,9 L
4	119	137	3,4 R	66,0	94,5	1,43	2872	3,4 L	15,9	2,8 R	35,2	15	4,5	Draw	-	-	-	-	-	-	-
5	119	135	3,4 R	70,8	94,5	1,34	3414	0,7 R	17,1	1,3 R	37,3	17	4,7	Gerade	-7,6	5,7 R	6,2 L	0,4 L	27,2	63,5	1,9 R
6	110	118	3,1 R	69,3	91,8	1,32	8176*	3,4 L*	15,5	2,8 R	34,5	14	4,3	Draw	-8,7	6,9 R	5,7 L	1,2 R	25,2	60,0	1,8 R
Mttl.	117	129	2,2 R	68,7	93,3	1,36	3677	1,3 L	17,1	1,5 R	35,9	16	4,5	Gerade	-7,8	6,1 R	6,9 L	0,8 L	27,8	62,3	2,0 R
Abw.	3,6	6,8	4,3	2,2	1,5	0,05	2283	4,1	1,3	1,3	1,1	1,0	0,1	-	0,9	1,7	3,7	2,3	1,8	3,7	1,9

*Kein Spin gemessen, dies ist eine Schätzung.

Seitenansicht (m)

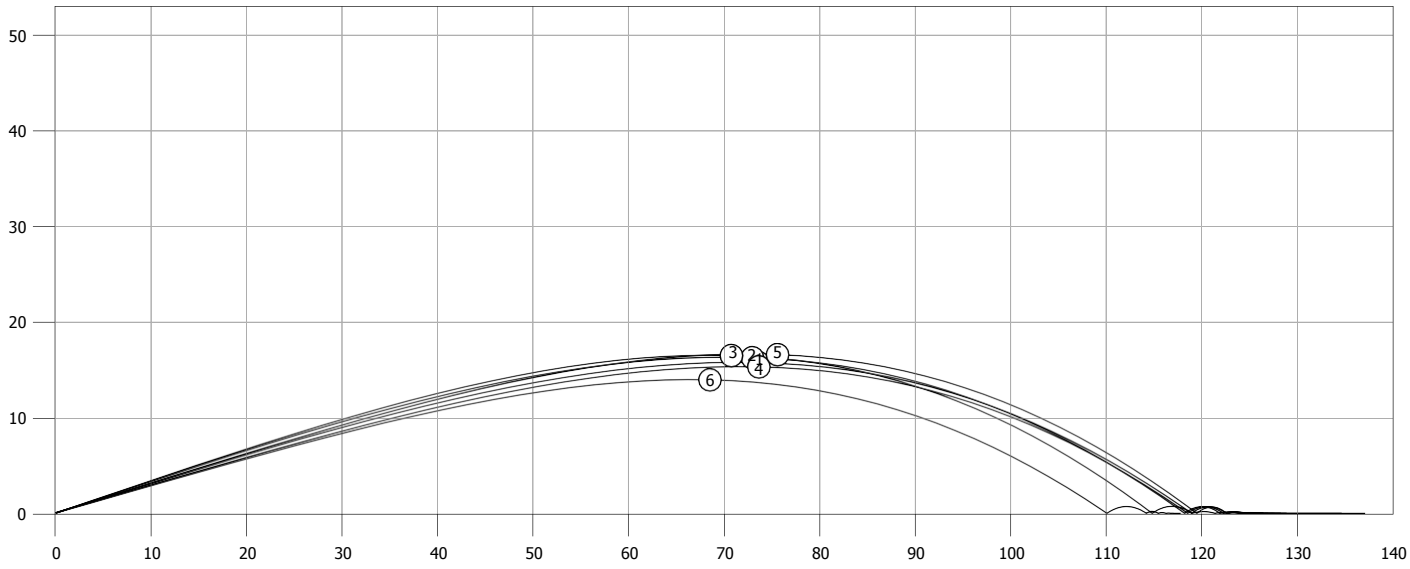

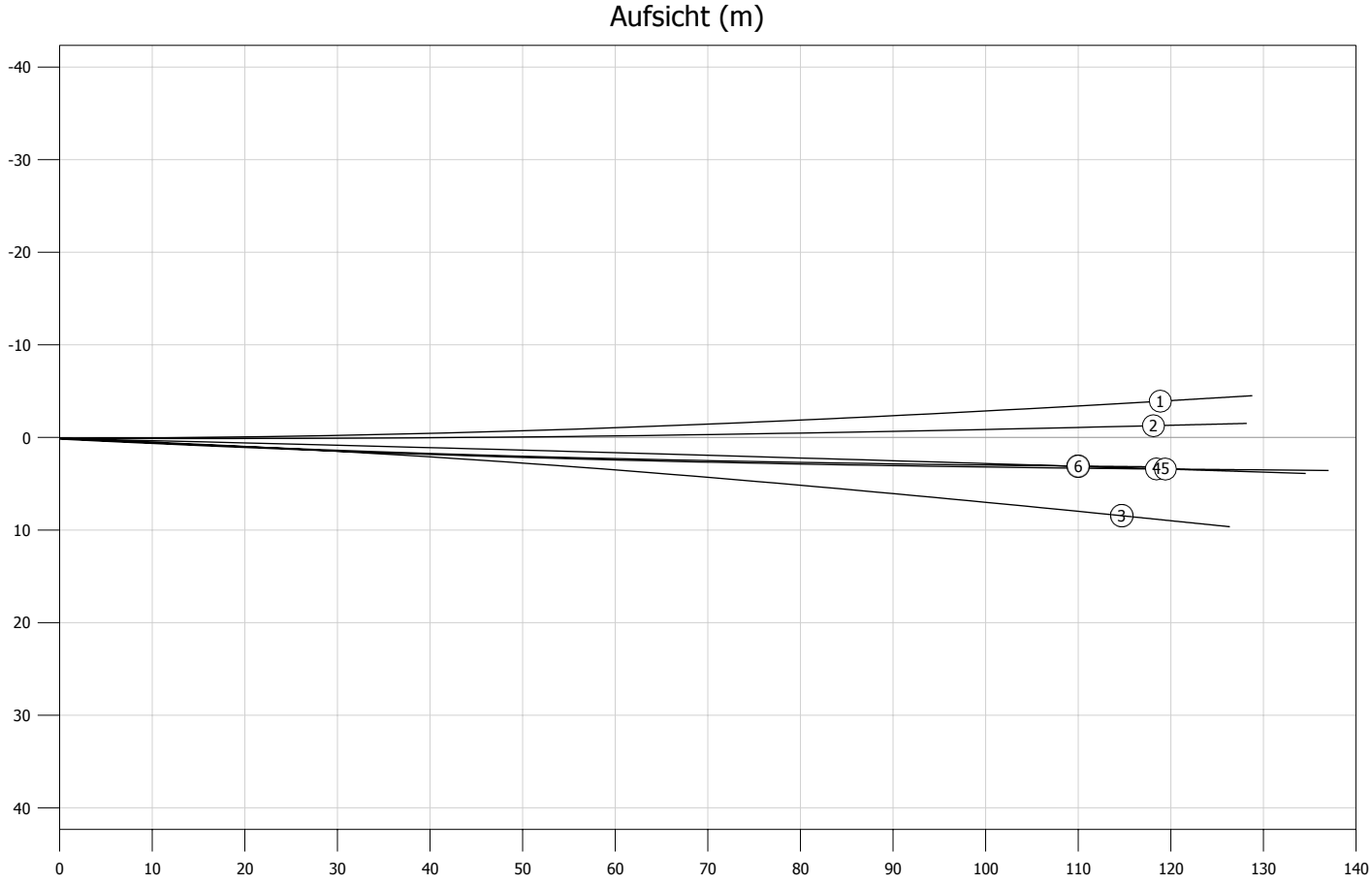

8 Iron

	Distanz (m)			Geschwind (mp			Spin		Ballwinkel (°)						Schlägerwinkel (°)					Schwungebene (	
Schlag	Schlagdist	Gesamt	Seitlich	Schläger	Ball	Smash	(rpm)	Achse (°)	Abflug Vert.	Launch Horz.	Landung	Höhe (m)	Flug (s)	Klassifizierung	Eintreffwinkel	Schwungrichtung	Schlagfläche zu Schwungrichtung	Schlagfläche zu Ziel	Dynaischer Loft	Vertikal	Horizontal
1	113	122	7,1 L	68,5	91,0	1,33	3480	1,0 R	18,7	4,0 L	37,7	17	4,6	Pull	-3,6	1,2 L	3,7 L	4,9 L	26,6	60,4	3,3 L
2	109	125	7,2 R	68,0	86,3	1,27	2759	2,5 R	24,3	3,0 R	40,1	19	4,7	Gerade	-8,1	6,6 R	5,5 L	1,2 R	40,5	60,2	1,9 R
3	112	124	3,6 R	67,1	89,3	1,33	6824	3,5 R	21,9	0,6 R	39,6	18	4,7	Fade	-6,0	4,3 R	5,4 L	1,2 L	34,9	69,1	2,0 R
4	112	125	2,5 R	67,7	89,6	1,32	4048	0,3 R	21,8	1,1 R	40,5	19	4,8	Gerade	-6,6	2,8 R	2,5 L	0,3 R	35,2	59,2	1,1 L
5	105	119	3,2 R	67,3	85,4	1,27	6231	4,9 R	19,7	0,1 R	35,2	15	4,3	Fade	-6,5	2,4 R	3,2 L	0,9 L	31,1	59,3	1,5 L
6	105	114	6,5 R	66,6	86,7	1,30	3415	5,6 R	20,0	1,7 R	36,6	15	4,3	Fade	-7,2	1,8 R	0,1 L	1,7 R	32,1	58,1	2,7 L
7	103	116	7,2 L	65,9	86,9	1,32	6576	4,0 L	19,6	2,8 L	37,1	15	4,3	Draw	-7,9	6,2 R	13,2 L	7,0 L	32,7	54,2	0,4 R
8	108	126	6,9 R	68,8	88,5	1,29	3059	4,0 R	20,5	2,2 R	37,5	16	4,5	Fade	-7,9	4,6 R	3,4 L	1,1 R	33,8	54,0	1,2 L

	Distanz (m)			Geschwind (mp			Spin		Ballwinkel (°)						Schlägerwinkel (°)					Schwungebene (	
Schlag	Schlagdist	Gesamt	Seitlich	Schläger	Ball	Smash	(rpm)	Achse (°)	Abflug Vert.	Launch Horz.	Landung	Höhe (m)	Flug (s)	Klassifizierung	Eintreffwinkel	Schwungrichtung	Schlagfläche zu Schwungrichtung	Schlagfläche zu Ziel	Dynaischer Loft	Vertikal	Horizontal
9	105	123	8,3 L	68,1	89,3	1,31	3575	5,2 L	17,3	2,9 L	34,6	14	4,2	Draw	-9,2	8,3 R	16,5 L	8,2 L	30,0	64,6	3,9 R
10	105	110	2,0 L	68,2	87,5	1,28	4549	2,0 L	20,8	0,4 L	40,9	18	4,6	Gerade	-7,1	4,9 R	7,8 L	2,8 L	33,8	56,6	0,2 R
11	109	115	4,0 R	68,0	90,3	1,33	8163*	0,5 L*	20,4	2,2 R	41,2	18	4,7	Gerade	-6,7	6,2 R	5,7 L	0,4 R	32,7	55,6	1,5 R
Mttl.	108	120	0,8 R	67,7	88,3	1,30	4789	0,9 R	20,5	0,1 R	38,3	17	4,5	Gerade	-7,0	4,3 R	6,1 L	1,9 L	33,0	59,2	0,0
Abw.	3,6	5,3	6,0	0,9	1,8	0,02	1833	3,6	1,8	2,3	2,3	1,9	0,2	-	1,4	2,7	4,8	3,5	3,5	4,5	2,2

*Kein Spin gemessen, dies ist eine Schätzung.

Seitenansicht (m)

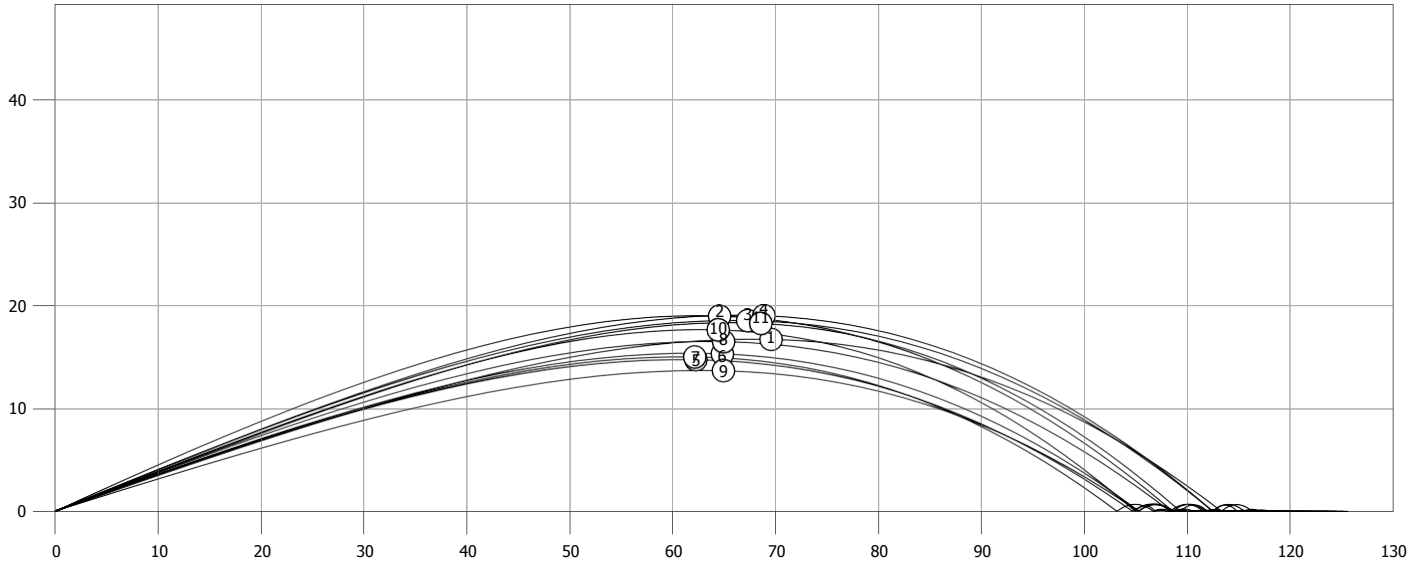

Aufsicht (m)

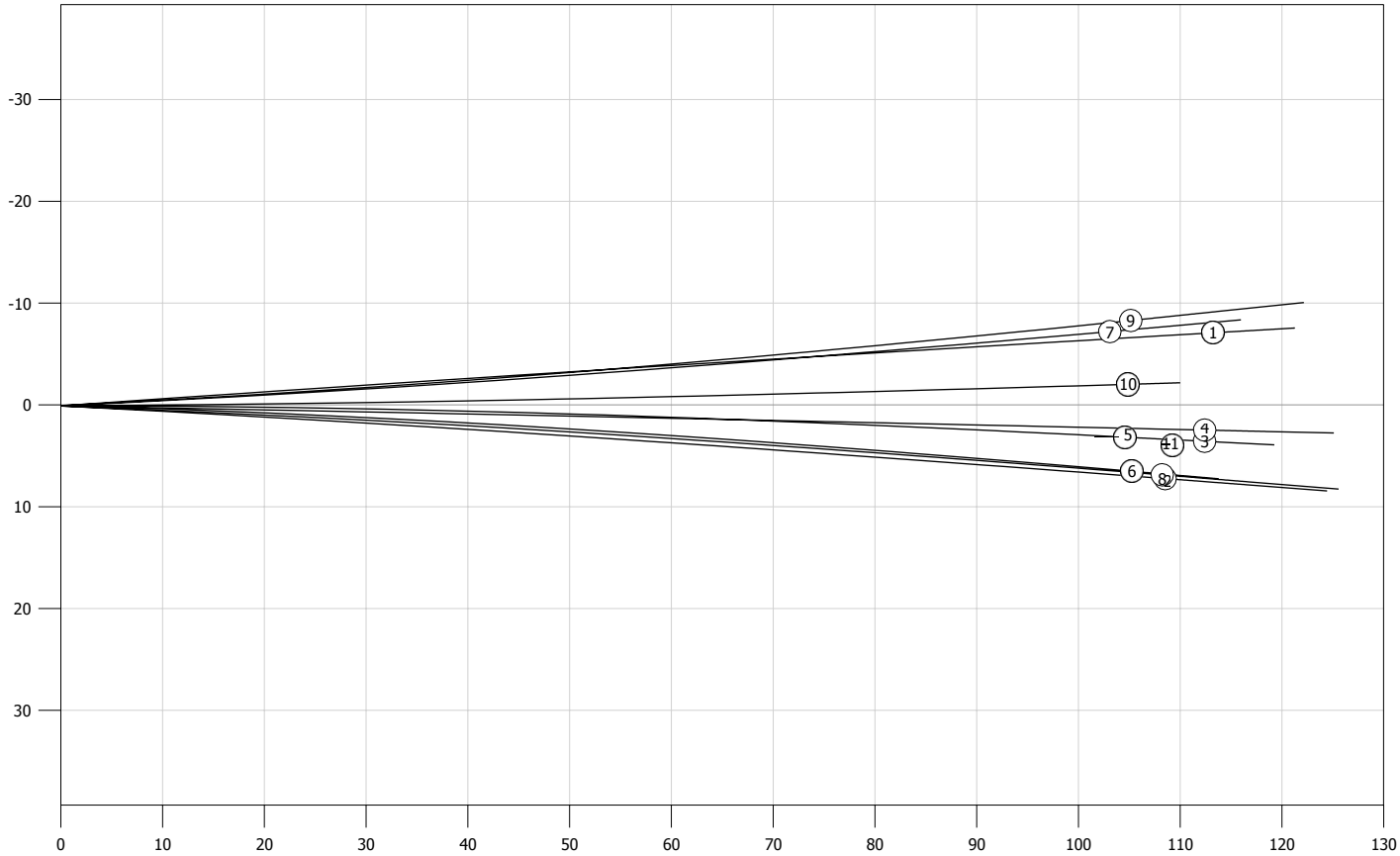

9 Iron

	Distanz (m)			Geschwind (mp			Spin		Ballwinkel (°)						Schlägerwinkel (°)					Schwungebene (	
Schlag	Schlagdist	Gesamt	Seitlich	Schläger	Ball	Smash	(rpm)	Achse (°)	Abflug Vert.	Launch Horz.	Landung	Höhe (m)	Flug (s)	Klassifizierung	Eintreffwinkel	Schwungrichtung	Schlagfläche zu Schwungrichtung	Schlagfläche zu Ziel	Dynaischer Loft	Vertikal	Horizontal
1	82	94	6,9 R	69,1	79,0	1,14	7553*	7,0 R*	15,1	3,0 R	25,6	7,9	3,2	Fade	-11,6	1,4 R	2,3 R	3,7 R	26,8	55,1	6,8 L
2	79	85	1,6 R	57,9	71,6	1,24	10026	0,5 R	23,2	0,9 R	35,7	12	3,7	Gerade	-8,8	6,1 R	7,9 L	1,8 L	39,1	55,9	0,1 R
3	87	93	4,6 L	69,2	78,9	1,14	11563	0,8 R	19,8	3,3 L	35,1	12	3,8	Gerade	-2,7	3,3 L	0,0	3,3 L	27,8	57,5	5,0 L
4	101	110	1,1 R	65,9	85,6	1,30	8494	3,2 L	20,6	1,7 R	38,5	16	4,4	Draw	-7,3	6,2 R	6,5 L	0,4 L	33,7	69,8	3,5 R
5	92	103	6,7 L	67,6	82,0	1,21	8244*	4,2 L*	18,9	2,9 L	35,1	13	4,0	Draw	-7,5	3,5 R	9,1 L	5,7 L	30,6	63,9	0,2 L
6	85	96	3,4 L	68,1	77,8	1,14	8184*	1,6 L*	19,7	1,9 L	34,0	12	3,7	Gerade	-1,8	1,0 R	3,8 L	2,9 L	27,0	59,6	0,1 L
7	86	98	0,8 R	66,2	77,0	1,16	7137	0,8 L	21,5	0,7 R	35,0	12	3,8	Gerade	-4,4	0,7 L	2,0 R	1,3 R	32,4	52,7	4,0 L
8	76	90	5,8 L	62,0	80,2	1,29	10549	14,5 L	13,7	1,2 L	23,6	6,6	2,9	Draw	-	-	-	-	-	-	-
9	98	104	6,6 L	66,4	80,4	1,21	8790	14,1 L	22,7	1,2 R	37,9	16	4,3	Draw	-4,2	0,2 R	1,5 R	1,6 R	34,5	41,7	4,6 L
10	86	92	8,1 R	65,4	76,5	1,17	6007	8,4 R	23,7	2,5 R	40,4	15	4,1	Fade	-8,8	1,6 R	1,4 R	3,0 R	39,8	56,7	4,2 L
11	80	88	3,2 L	69,6	79,1	1,14	12055	2,0 R	15,6	2,9 L	28,6	8,5	3,3	Gerade	-8,6	1,8 R	6,6 L	4,8 L	25,2	62,4	2,7 L

	Distanz (m)			Geschwind (mp			Spin		Ballwinkel (°)						Schlägerwinkel (°)					Schwungebene (	
Schlag	Schlagdist	Gesamt	Seitlich	Schläger	Ball	Smash	(rpm)	Achse (°)	Abflug Vert.	Launch Horz.	Landung	Höhe (m)	Flug (s)	Klassifizierung	Eintreffwinkel	Schwungrichtung	Schlagfläche zu Schwungrichtung	Schlagfläche zu Ziel	Dynaischer Loft	Vertikal	Horizontal
12	87	93	7,1 R	66,9	79,5	1,19	10805	6,2 R	20,2	2,6 R	36,3	13	3,9	Fade	-8,5	4,1 R	2,2 L	1,9 R	33,9	58,1	1,2 L
13	86	94	1,3 R	69,7	79,2	1,14	8974*	3,8 L*	19,7	2,1 R	37,4	13	3,9	Draw	-0,6	2,0 R	0,1 R	2,1 R	26,0	66,5	1,8 R
14	93	97	0,6 R	69,0	81,1	1,18	8461	6,3 L	22,8	2,2 R	41,6	16	4,2	Draw	-7,1	5,0 L	10,8 R	5,8 R	37,7	52,1	10,6 L
15	87	94	1,9 R	66,9	77,8	1,16	8148*	4,7 L*	23,8	2,7 R	40,0	15	4,1	Draw	-5,0	1,7 L	6,4 R	4,7 R	37,5	54,7	5,2 L
16	102	107	12,0 L	68,6	84,8	1,24	10542*	10,9 L*	16,2	1,3 L	39,7	15	4,5	Draw	-9,0	0,6 R	2,7 L	2,1 L	26,6	83,1	0,5 L
17	95	108	0,9 L	62,5	79,8	1,28	3947	5,9 L	24,3	1,1 R	38,7	16	4,2	Draw	-5,4	2,7 L	5,7 R	3,0 R	39,0	53,5	6,7 L
18	100	116	2,8 R	70,1	82,1	1,17	2669	11,7 R	26,1	1,9 L	40,5	18	4,5	Fade	-5,2	1,0 R	4,4 L	3,4 L	41,6	59,7	2,1 L
19	86	101	10,4 R	70,7	77,4	1,09	5515	12,3 R	19,3	0,3 L	35,8	12	3,9	Slice	-6,3	1,7 L	2,0 R	0,3 R	29,9	56,8	5,8 L
20	96	109	0,3 L	73,8	81,3	1,10	3209	1,3 L	24,3	0,2 R	41,3	17	4,4	Gerade	-8,8	1,7 R	2,3 L	0,6 L	40,8	63,7	2,7 L
21	99	112	3,9 L	71,6	85,2	1,19	2588	3,8 R	21,5	3,9 L	43,2	18	4,6	Pull/Fade	-7,3	4,4 R	12,4 L	8,0 L	35,8	60,2	0,2 R
22	-	-	-	65,7	-	-	- *	- *	-	-	-	-	-	-	-5,7	1,2 R	1,3 L	0,1 L	0,3	57,0	2,5 L
23	94	99	9,0 R	68,2	80,3	1,18	4293	14,5 R	26,0	0,3 R	42,6	18	4,4	Fade	-5,5	2,1 R	2,6 L	0,5 L	41,7	62,9	0,8 L
24	89	99	1,7 R	70,0	80,6	1,15	6642	9,9 R	20,0	2,5 L	38,7	14	4,1	Fade	-9,0	2,9 R	8,0 L	5,1 L	34,1	56,1	3,2 L
25	101	110	4,5 L	69,5	84,2	1,21	7466	2,7 R	24,0	3,5 L	41,8	18	4,6	Pull/Fade	-7,6	0,8 R	6,4 L	5,6 L	39,7	64,3	2,8 L
26	99	105	4,8 L	66,9	83,5	1,25	8053	1,2 L	22,2	2,4 L	40,5	17	4,5	Gerade	-7,5	3,3 R	8,5 L	5,2 L	36,9	68,6	0,3 R
27	90	99	7,9 L	70,6	81,4	1,15	8934*	0,4 L*	18,2	5,0 L	35,5	12	4,0	Pull	-9,2	0,9 R	8,5 L	7,7 L	30,7	58,0	4,9 L
28	89	94	1,7 R	69,8	78,6	1,13	8739*	6,1 R*	22,5	1,0 L	39,5	15	4,2	Fade	-4,6	2,0 L	1,4 R	0,6 L	34,5	62,8	4,4 L
29	90	95	4,7 R	68,2	79,1	1,16	4982	8,0 R	24,9	0,3 R	42,3	17	4,3	Fade	-8,0	1,5 R	1,8 L	0,3 L	41,2	63,9	2,5 L
30	89	94	9,9 L	72,2	81,0	1,12	10620	12,4 L	20,0	2,5 L	36,6	13	3,9	Draw	-0,8	2,4 R	6,5 L	4,1 L	26,9	64,2	2,0 R
31	93	100	3,8 R	66,5	79,9	1,20	5286	0,5 R	23,0	2,1 R	42,0	17	4,4	Gerade	-6,8	4,7 R	4,0 L	0,7 R	37,9	65,1	1,6 R
32	90	97	8,1 L	69,1	83,0	1,20	8570*	2,9 L*	17,2	4,3 L	34,7	12	3,9	Pull/Draw	-8,3	1,1 R	7,6 L	6,5 L	28,1	56,1	4,5 L
33	102	109	2,7 R	67,2	84,8	1,26	7973*	0,3 L*	24,2	1,6 R	42,9	19	4,7	Gerade	-7,4	7,3 R	8,5 L	1,2 L	40,0	65,5	3,8 R
34	88	99	3,4 R	67,1	79,3	1,18	6239	0,7 R	20,8	1,9 R	38,9	14	4,1	Gerade	-6,6	2,2 R	0,4 L	1,8 R	33,2	57,8	2,0 L
35	92	105	4,0 R	66,6	78,7	1,18	6372	3,3 R	24,4	1,4 R	38,7	15	4,2	Fade	-8,3	0,9 L	3,4 R	2,6 R	40,7	52,8	7,2 L
36	95	104	11,5 L	67,9	84,1	1,24	5322	8,0 L	21,1	4,2 L	40,8	16	4,3	Pull/Draw	-4,8	2,3 L	2,8 L	5,1 L	32,1	55,5	5,6 L
37	100	107	4,7 L	68,1	84,9	1,25	8623*	0,9 L*	20,9	2,4 L	40,2	16	4,5	Gerade	-7,6	2,1 L	0,5 L	2,5 L	34,3	53,1	7,8 L
38	98	104	13,3 L	68,0	84,3	1,24	8352	15,5 L	22,1	3,0 L	39,4	16	4,3	Draw	-7,0	8,2 R	16,9 L	8,6 L	36,6	67,4	5,3 R
39	91	100	5,3 R	69,3	84,0	1,21	8707*	4,2 R*	14,2	1,9 R	29,3	9,7	3,6	Fade	-11,0	4,1 R	3,1 L	1,0 R	24,4	57,8	2,9 L
40	94	100	9,3 R	67,7	81,2	1,20	9531	9,1 R	24,1	2,6 R	40,9	17	4,4	Fade	-7,9	0,1 R	3,7 R	3,8 R	40,0	58,2	4,9 L
41	102	107	6,6 L	71,0	82,7	1,16	5566	2,2 L	27,2	3,2 L	40,7	19	4,5	Gerade	-2,2	3,2 R	9,5 L	6,3 L	41,8	62,1	2,0 R
42	96	111	6,7 L	69,2	83,2	1,20	5233	0,4 L	20,0	3,9 L	36,9	14	4,2	Pull	-7,8	3,3 R	10,6 L	7,3 L	33,2	63,1	0,7 L

	Distanz (m)			Geschwind (mp			Spin		Ballwinkel (°)						Schlägerwinkel (°)					Schwungebene (	
Schlag	**Schlagdist**	**Gesamt**	**Seitlich**	**Schläger**	**Ball**	**Smash**	**(rpm)**	**Achse (°)**	**Abflug Vert.**	**Launch Horz.**	**Landung**	**Höhe (m)**	**Flug (s)**	**Klassifizierung**	**Eintreffwinkel**	**Schwungrichtung**	**Schlagfläche zu Schwungrichtung**	**Schlagfläche zu Ziel**	**Dynaischer Loft**	**Vertikal**	**Horizontal**
43	100	108	4,1 R	68,7	81,3	1,18	2873	2,6 L	24,6	3,0 R	38,8	17	4,4	Gerade	-5,1	4,2 R	1,7 L	2,5 R	39,3	65,0	1,8 R
44	84	90	2,6 R	68,5	75,0	1,09	8434	0,2 L	22,7	1,8 R	36,3	13	3,9	Gerade	-6,2	1,3 L	4,6 R	3,3 R	36,7	65,6	4,2 L
45	104	110	6,3 L	67,4	85,9	1,27	7716*	1,1 L*	22,6	3,2 L	40,3	18	4,6	Gerade	-6,9	4,0 R	10,7 L	6,7 L	37,3	64,8	0,7 R
Mttl.	92	101	0,8 L	68,0	80,9	1,19	7454	0,2 L	21,4	0,5 L	37,8	14	4,1	Gerade	-6,6	1,6 R	3,0 L	1,4 L	33,8	60,3	2,3 L
Abw.	6,9	7,3	6,1	2,7	3,1	0,05	2405	7,1	3,2	2,5	4,4	2,9	0,4	-	2,4	2,9	5,6	3,9	7,3	6,5	3,4

*Kein Spin gemessen, dies ist eine Schätzung.

Seitenansicht (m)

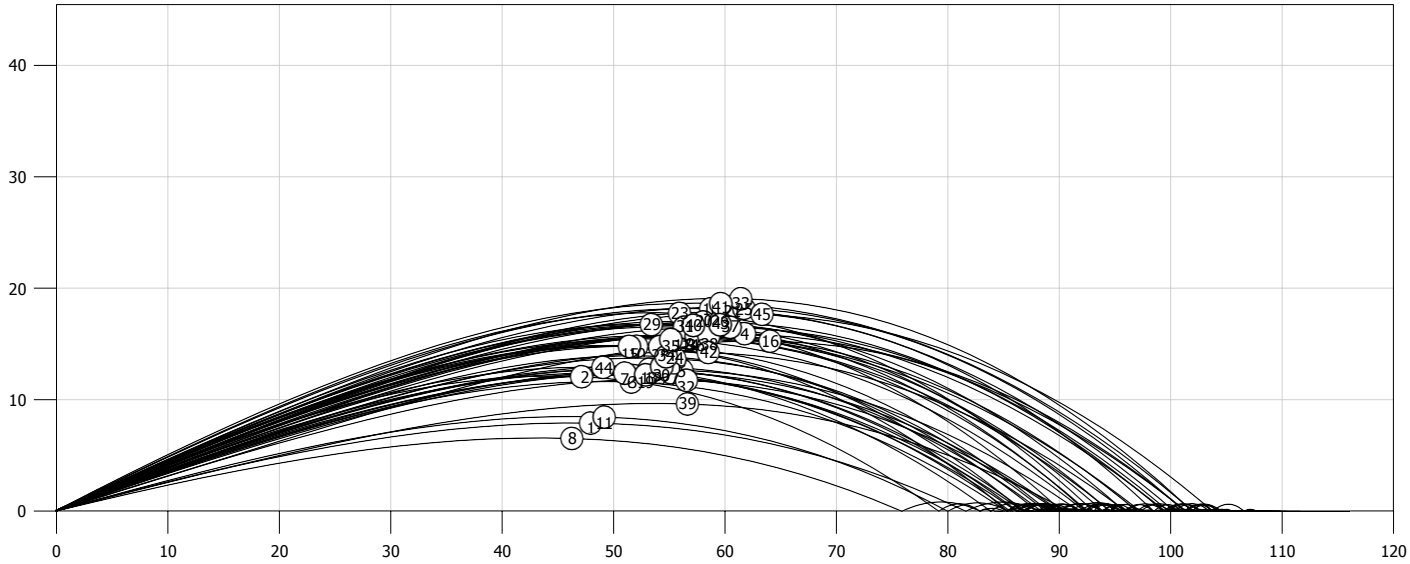

Aufsicht (m)

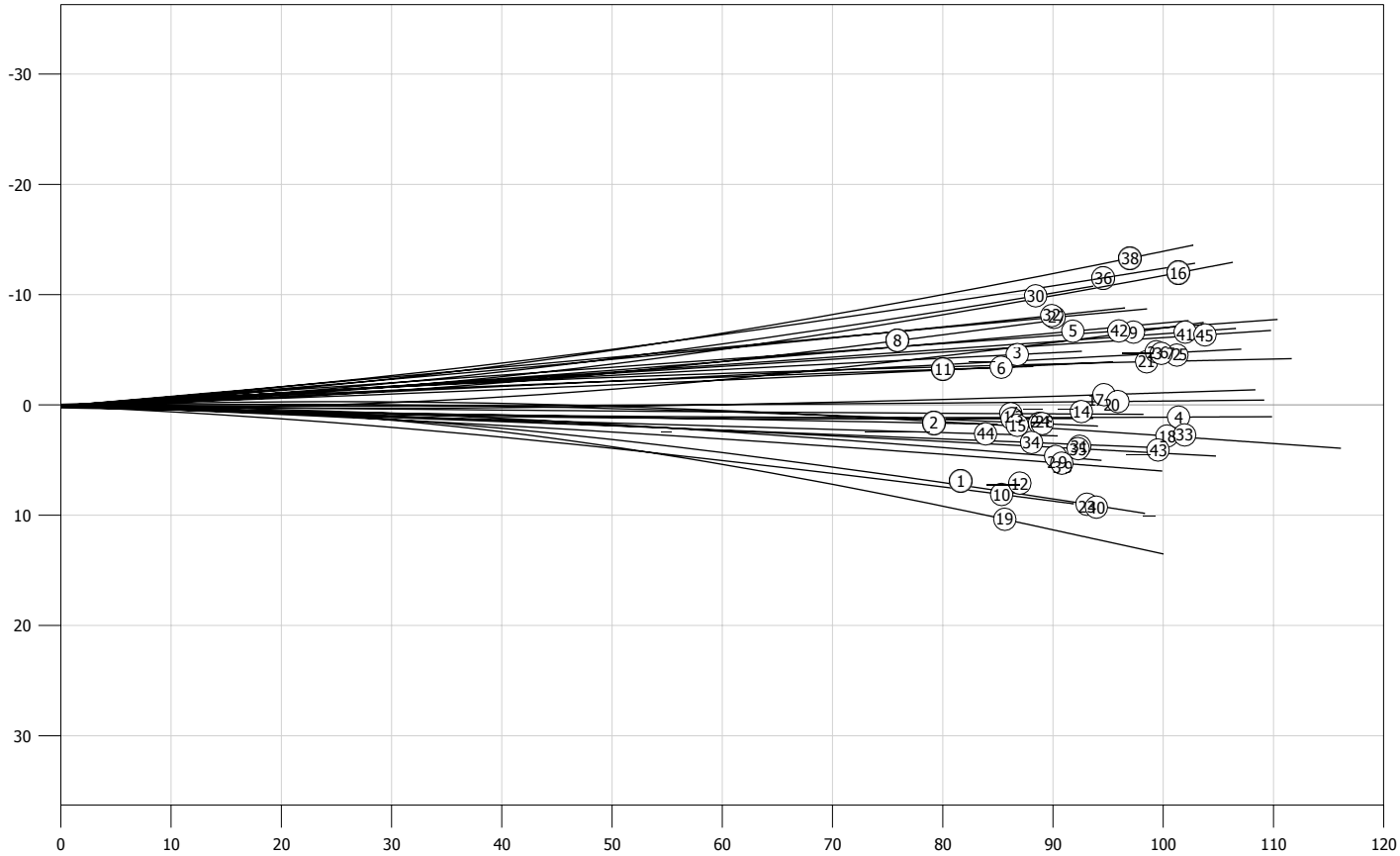

Pitching Wedge

	Distanz (m)			Geschwind (mp			Spin		Ballwinkel (°)						Schlägerwinkel (°)					Schwungebene (	
Schlag	Schlagdist	Gesamt	Seitlich	Schläger	Ball	Smash	(rpm)	Achse (°)	Abflug Vert.	Launch Horz.	Landung	Höhe (m)	Flug (s)	Klassifizierung	Eintreffwinkel	Schwungrichtung	Schlagfläche zu Schwungrichtung	Schlagfläche zu Ziel	Dynaischer Loft	Vertikal	Horizontal
1	95	100	1,1 L	67,2	78,5	1,17	6504	2,2 R	30,1	1,4 L	44,7	20	4,6	Gerade	-7,9	6,3 R	11,5 L	5,2 L	49,0	66,7	2,9 R
2	91	103	2,9 R	68,9	76,3	1,11	3083	4,9 R	31,1	0,4 R	44,7	20	4,5	Fade	-2,8	4,0 R	5,3 L	1,3 L	47,9	64,2	2,7 R
3	90	95	1,9 R	68,0	77,4	1,14	6890*	0,9 R*	29,7	0,9 R	44,5	19	4,5	Gerade	-9,0	6,3 R	8,1 L	1,8 L	49,0	66,0	2,2 R
4	94	99	2,4 R	67,9	80,1	1,18	3860	0,2 R	29,5	1,4 R	46,4	21	4,7	Gerade	-7,4	6,0 R	6,9 L	0,9 L	47,9	65,3	2,5 R
5	90	97	2,5 R	68,6	79,3	1,16	5298	0,0	24,4	1,6 R	42,0	16	4,3	Gerade	-4,9	4,2 R	3,9 L	0,3 R	38,6	62,4	1,6 R
Mttl.	92	99	1,7 R	68,2	78,3	1,15	5127	1,6 R	29,0	0,6 R	44,5	19	4,5	Gerade	-6,4	5,3 R	7,1 L	1,8 L	46,5	64,9	2,4 R
Abw.	2,3	3,1	1,6	0,7	1,5	0,03	1644	2,0	2,6	1,2	1,6	1,7	0,2	-	2,5	1,2	2,9	2,1	4,4	1,7	0,5

*Kein Spin gemessen, dies ist eine Schätzung.

Seitenansicht (m)

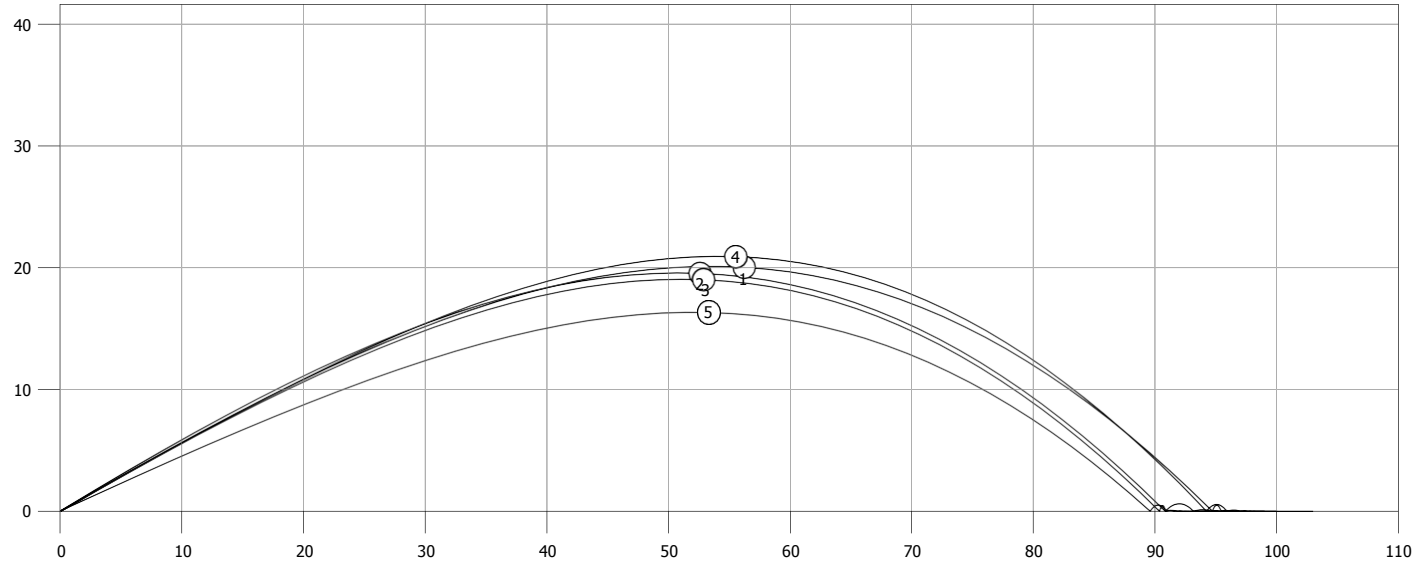

Aufsicht (m)

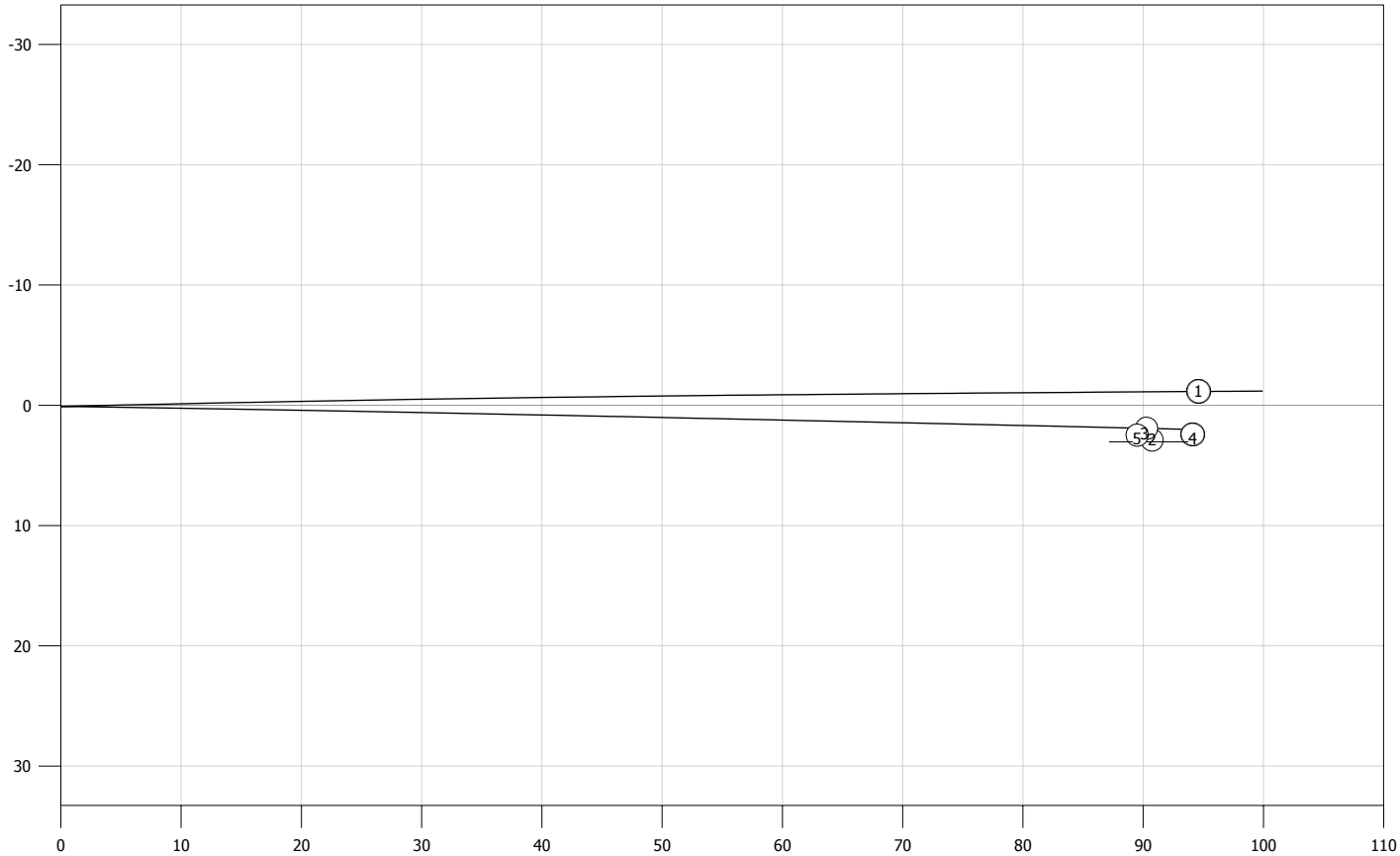

Gap Wedge

	Distanz (m)			Geschwind (mp			Spin		Ballwinkel (°)						Schlägerwinkel (°)					Schwungebene (	
Schlag	Schlagdist	Gesamt	Seitlich	Schläger	Ball	Smash	(rpm)	Achse (°)	Abflug Vert.	Launch Horz.	Landung	Höhe (m)	Flug (s)	Klassifizierung	Eintreffwinkel	Schwungrichtung	Schlagfläche zu Schwungrichtung	Schlagfläche zu Ziel	Dynaischer Loft	Vertikal	Horizontal
1	80	95	0,2 R	66,0	71,5	1,08	2365	9,0 R	32,9	1,5 L	43,7	17	4,0	Fade	-4,3	3,7 R	7,9 L	4,1 L	51,3	70,3	2,2 R
2	68	76	0,9 R	57,6	66,0	1,15	1653	5,9 R	34,7	0,2 L	43,1	14	3,7	Fade	-	-	-	-	-	-	-
3	80	90	0,7 R	67,8	68,6	1,01	1225	13,5 R	35,8	1,9 L	44,1	18	4,1	Fade	-10,9	5,0 R	10,3 L	5,3 L	58,9	66,3	0,2 R
4	84	99	0,7 L	55,0	78,0	1,42	7726*	1,1 L*	18,3	0,2 L	30,8	10	3,6	Gerade	-	-	-	-	-	-	-
5	74	85	5,1 R	69,5	68,2	0,98	2752	20,8 R	35,3	0,6 R	47,9	17	4,0	Fade	-10,4	6,0 R	8,1 L	2,0 L	58,1	69,8	2,2 R
6	71	78	0,8 L	72,1	67,0	0,93	3967	7,2 R	34,7	1,7 L	45,0	15	3,8	Fade	-11,5	3,6 R	7,9 L	4,3 L	57,6	79,2	1,4 R
7	60	67	2,7 R	69,5	59,0	0,85	4251	7,8 R	38,2	1,5 R	46,7	15	3,6	Fade	-1,9	3,0 R	2,2 L	0,7 R	58,2	82,2	2,7 R
8	74	85	3,9 L	71,5	68,0	0,95	6516	1,6 L	29,2	2,7 L	39,5	14	3,8	Gerade	-9,6	6,6 R	13,9 L	7,3 L	48,5	64,2	1,9 R
9	67	82	2,9 R	68,3	62,6	0,92	2332	16,5 R	35,8	0,3 R	42,9	15	3,6	Fade	-0,2	3,0 R	4,0 L	1,0 L	53,7	75,6	3,0 R
10	72	78	0,0	70,3	67,9	0,96	2980*	6,4 R*	33,3	0,8 L	46,3	15	3,8	Fade	-8,8	5,2 R	9,0 L	3,8 L	54,2	72,3	2,4 R
11	81	93	1,3 R	71,3	70,1	0,98	2931*	13,5 R*	33,0	0,9 L	44,8	17	4,0	Fade	-10,0	7,0 R	11,9 L	4,9 L	54,3	68,1	3,0 R
12	78	86	1,4 R	66,6	69,7	1,05	2481	2,9 R	33,5	0,6 R	42,8	16	3,8	Gerade	-7,5	9,2 R	12,8 L	3,6 L	53,8	72,4	6,8 R
13	84	92	0,8 R	67,7	73,6	1,09	2328	5,7 L	32,0	1,2 R	44,4	17	4,0	Gerade	+0,4	6,8 R	8,4 L	1,6 L	47,7	69,8	6,9 R
14	75	86	5,8 R	69,6	70,2	1,01	1692	1,5 R	30,7	4,2 R	39,0	13	3,5	Push	-11,2	6,9 R	4,2 L	2,8 R	51,5	67,8	2,3 R
15	77	83	3,4 L	71,5	70,5	0,99	4309	0,2 R	27,0	2,6 L	37,5	13	3,7	Gerade	-5,4	4,1 R	10,1 L	6,0 L	43,0	62,5	1,3 R
16	71	87	4,6 R	72,1	64,8	0,90	2398	6,8 R	33,4	2,8 R	42,3	14	3,7	Fade	-12,6	5,0 R	3,3 L	1,7 R	56,3	78,6	2,4 R
Mttl.	75	85	1,1 R	67,9	68,5	1,02	3244	6,5 R	32,4	0,1 L	42,6	15	3,8	Fade	-7,4	5,4 R	8,1 L	2,8 L	53,4	71,4	2,8 R
Abw.	6,6	7,8	2,7	4,9	4,4	0,13	1763	7,1	4,6	1,9	4,2	2,0	0,2	-	4,4	1,8	3,6	3,0	4,6	5,8	1,9

*Kein Spin gemessen, dies ist eine Schätzung.

Seitenansicht (m)

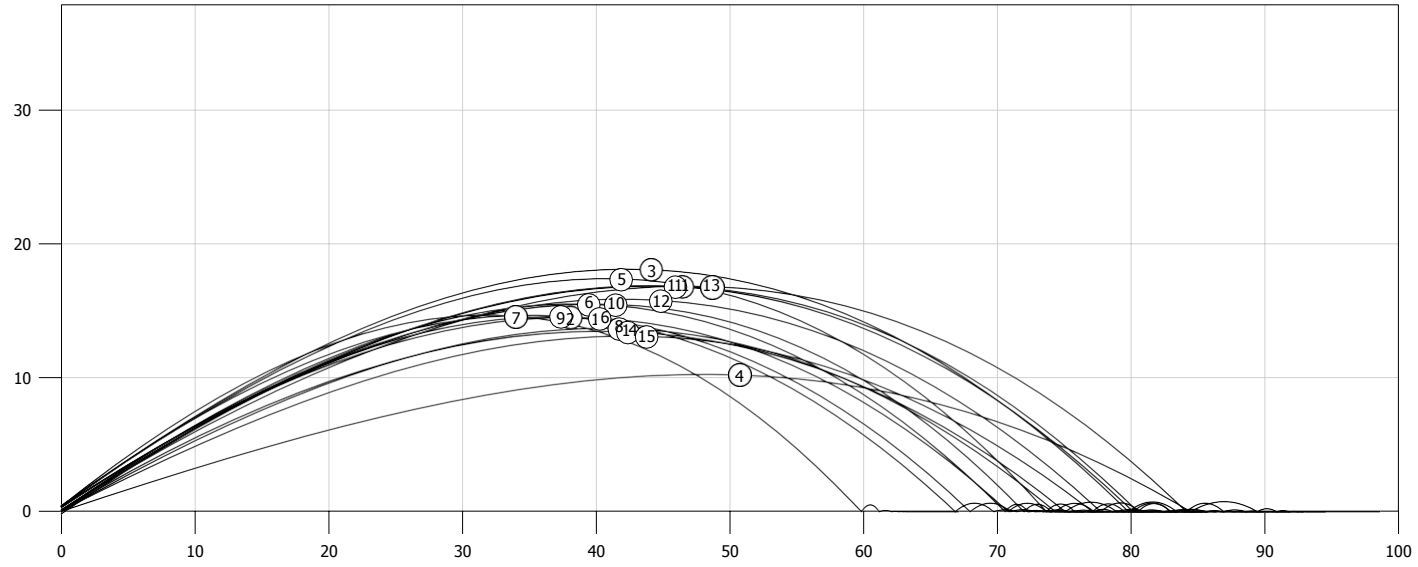

Aufsicht (m)

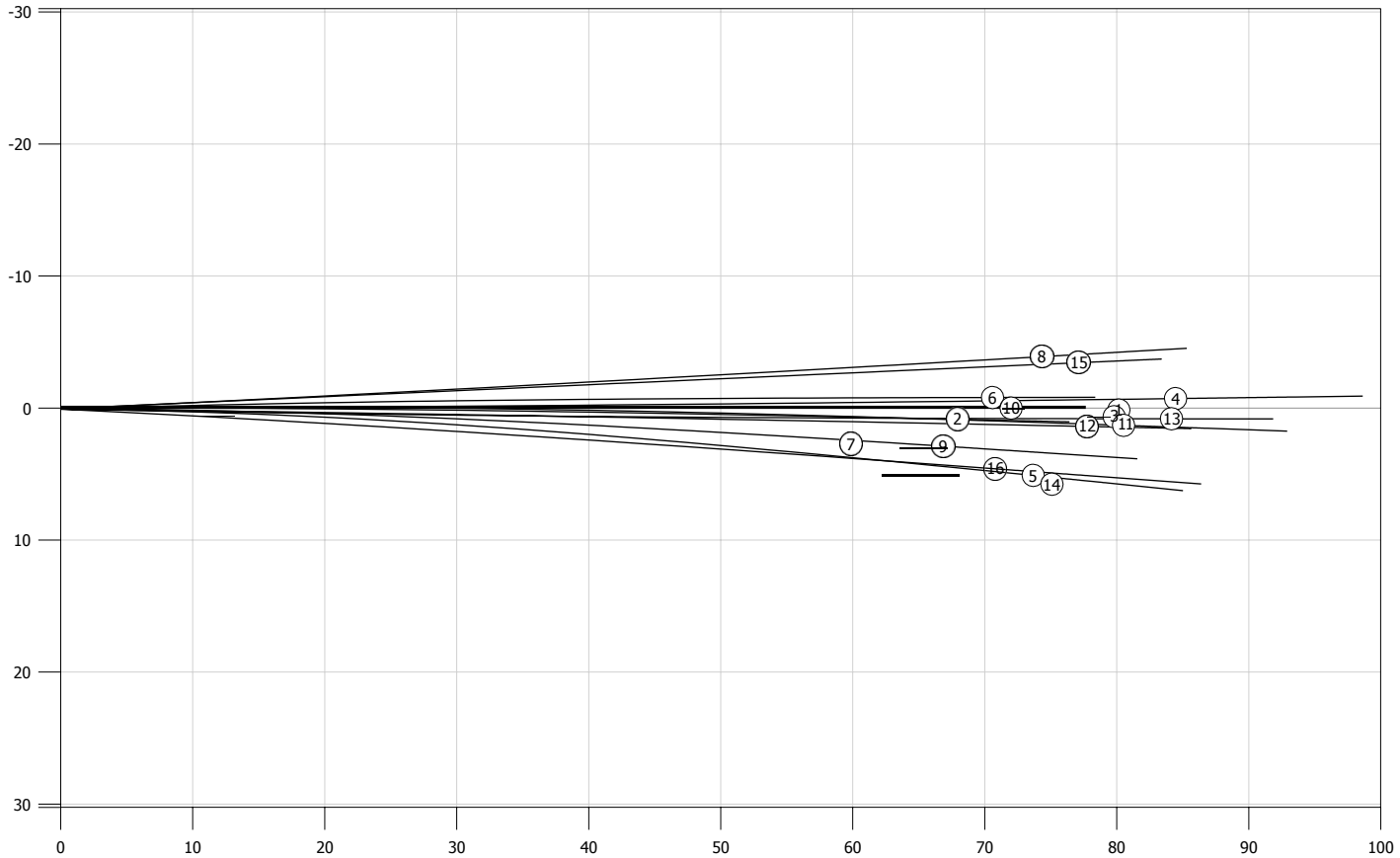

Sand Wedge

	Distanz (m)			Geschwind (mp			Spin		Ballwinkel (°)						Schlägerwinkel (°)					Schwungebene (	
Schlag	Schlagdist	Gesamt	Seitlich	Schläger	Ball	Smash	(rpm)	Achse (°)	Abflug Vert.	Launch Horz.	Landung	Höhe (m)	Flug (s)	Klassifizierung	Eintreffwinkel	Schwungrichtung	Schlagfläche zu Schwungrichtung	Schlagfläche zu Ziel	Dynaischer Loft	Vertikal	Horizontal
1	64	68	2,6 L	63,1	62,4	0,99	6793	4,1 R	37,2	3,2 L	47,0	16	3,9	Fade	+3,1	8,7 R	17,7 L	9,1 L	54,1	81,7	9,1 R
2	63	70	1,4 L	50,7	61,9	1,22	6494	4,2 L	34,6	0,6 L	43,4	13	3,6	Draw	-	-	-	-	-	-	-
3	68	73	3,9 L	63,8	64,6	1,01	6386	7,0 R	35,1	4,6 L	44,7	15	3,8	Pull/Fade	-4,0	4,3 R	13,3 L	9,0 L	54,5	76,4	3,3 R
4	54	57	1,5 R	64,5	55,8	0,87	4674	4,2 R	34,2	0,6 R	44,1	12	3,5	Fade	+7,7	5,4 R	7,0 L	1,6 L	45,9	73,0	7,8 R
5	58	60	5,1 R	60,7	57,1	0,94	5632	12,3 R	39,6	2,9 R	49,0	15	3,8	Fade	-	-	-	-	-	-	-
Mttl.	61	66	0,3 L	60,5	60,4	1,01	5996	4,7 R	36,1	1,0 L	45,7	14	3,7	Fade	+2,3	6,1 R	12,7 L	6,6 L	51,5	77,0	6,8 R
Abw.	5,5	6,6	3,6	5,7	3,7	0,13	854	6,0	2,2	3,0	2,3	1,6	0,2	-	5,9	2,3	5,4	4,3	4,9	4,4	3,0

Seitenansicht (m)

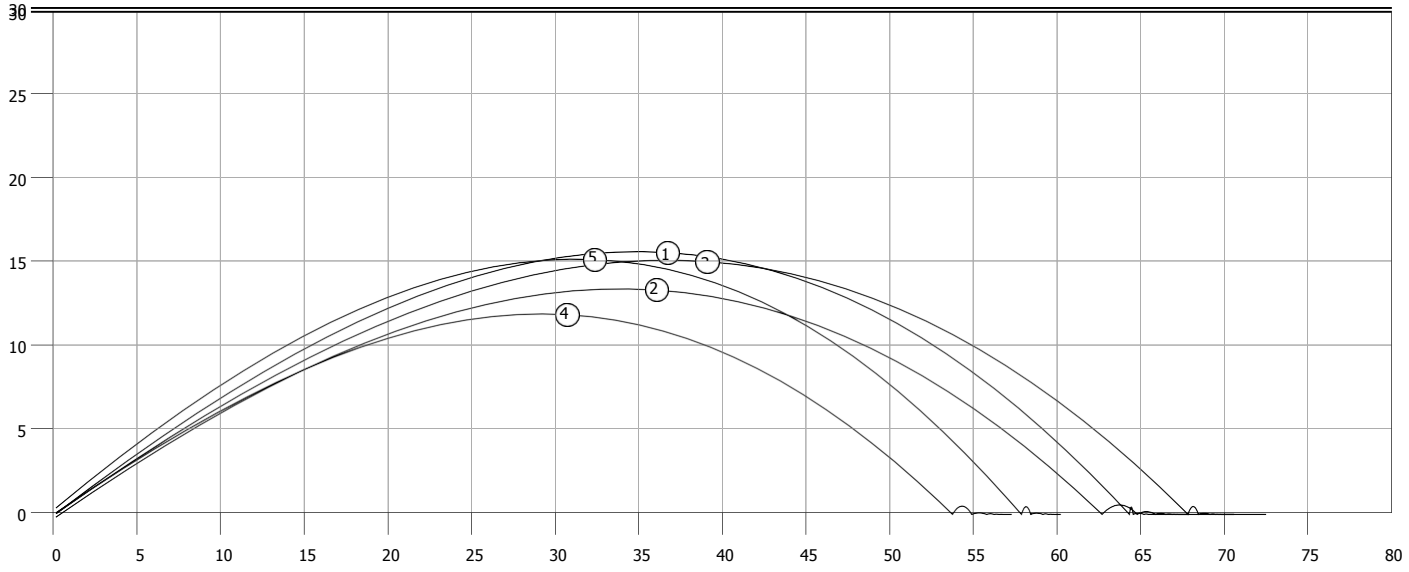

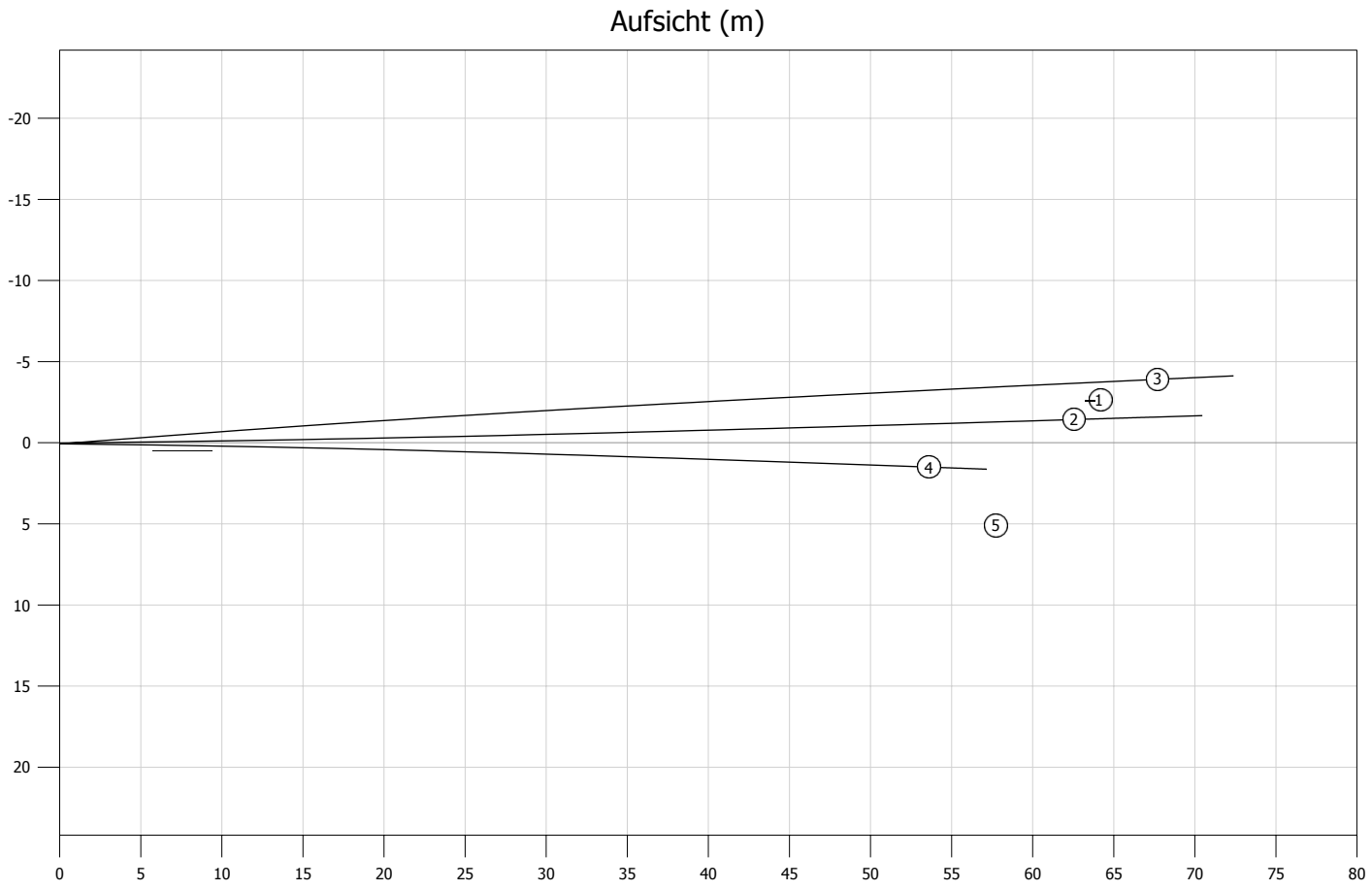
Aufsicht (m)
-20
-15
-10
-5
0
5
10
15
20
0
5
10
15
20
25
30
35
40
45
50
55
60
65
70
75
80
1
2
3
4
5